

Adopted Levels, Gammas

Type	Author	History	Citation	Literature Cutoff Date
Full Evaluation	Yu. Khazov, I. Mitropolsky, A. Rodionov		NDS 107, 2715 (2006)	17-Jul-2022

$Q(\beta^-) = -8.00 \times 10^3$  SY;  $S(n) = 9.24 \times 10^3$  4;  $S(p) = 3.88 \times 10^3$  7;  $Q(\alpha) = 1.79 \times 10^3$  4 [2021Wa16](#)

In the comments for each rotational band the mean-squared deviation  $\Delta$  of the energy values calculated with use of Variable Moment of Inertia model from the experimental ones is presented.

 $^{131}\text{Nd}$  LevelsCross Reference (XREF) Flags

- A**  $^{131}\text{Pm}$   $\varepsilon$  decay (6.3 s)  
**B**  $^{94}\text{Mo}$ ( $^{40}\text{Ca}, 2\text{pn}\gamma$ )

E(level) <sup>‡</sup>	$J^\pi$ <sup>†</sup>	$T_{1/2}$	XREF	Comments
0.0 <sup>#</sup>	(5/2 <sup>+</sup> )	25.4 s 9	AB	$\% \varepsilon + \% \beta^+ = 100$ ; $\% \varepsilon p > 0$ Delayed proton emitter; E(p)=1.7 to 6.4 MeV ( <a href="#">1986Wi15</a> ). Other: <a href="#">1977Bo02</a> . $J^\pi$ : from statistical model calculations of the final state feedings in $^{130}\text{Ce}$ ( <a href="#">1986Wi15</a> ). $T_{1/2}$ : weighted average of 26.6 s 17 ( <a href="#">1999Ga41</a> ), 25.0 s 12 ( <a href="#">1983ViZU</a> , <a href="#">1993AI03</a> ), 25 s 4 ( <a href="#">1986Wi15</a> ), 24 s 3 ( <a href="#">1977Bo02</a> ); Other: $T_{1/2} = 33$ s 3 ( <a href="#">1996Ge12</a> ).
113.9 <sup>&amp;</sup> 6	(1/2 <sup>+</sup> )		B	
140.98 <sup>a</sup> 23	(3/2 <sup>+</sup> )		B	
146.04 <sup>@</sup> 20	(7/2 <sup>+</sup> )		AB	
191.4 <sup>d</sup> 8	(1/2 <sup>-</sup> )		B	
210.8 <sup>c</sup> 5	(7/2 <sup>-</sup> )	≈50 ns	B	$T_{1/2}$ : from <a href="#">1990JaZU</a> . $J^\pi$ : (E1) $\gamma$ to (5/2 <sup>+</sup> ) g.s.; $J^\pi$ assignments of this band were made on systematics of N=71 nuclei and in-band properties.
225.8 <sup>e</sup> 7	(3/2 <sup>-</sup> )		B	
300.0 <sup>d</sup> 6	(5/2 <sup>-</sup> )		B	
302.8 <sup>b</sup> 5	(9/2 <sup>-</sup> )		B	
321.0 <sup>&amp;</sup> 3	(5/2 <sup>+</sup> )		B	
331.19 <sup>#</sup> 17	(9/2 <sup>+</sup> )		AB	
380.7 4	(7/2 <sup>+</sup> )		B	
387.74 <sup>a</sup> 17	(7/2 <sup>+</sup> )		B	
394.5 <sup>e</sup> 6	(7/2 <sup>-</sup> )		B	
453.4 <sup>c</sup> 5	(11/2 <sup>-</sup> )		B	
515.0 <sup>d</sup> 6	(9/2 <sup>-</sup> )		B	
551.41 <sup>@</sup> 20	(11/2 <sup>+</sup> )		AB	
666.1 <sup>&amp;</sup> 3	(9/2 <sup>+</sup> )		B	
676.9 <sup>b</sup> 5	(13/2 <sup>-</sup> )		B	
693.0 <sup>e</sup> 6	(11/2 <sup>-</sup> )		B	
760.60 <sup>a</sup> 22	(11/2 <sup>+</sup> )		B	
801.58 <sup>#</sup> 21	(13/2 <sup>+</sup> )		B	
842.7 <sup>d</sup> 6	(13/2 <sup>-</sup> )		B	
895.8 <sup>c</sup> 5	(15/2 <sup>-</sup> )		B	
1036.4 <sup>h</sup> 10	(11/2 <sup>-</sup> )		B	
1079.47 <sup>@</sup> 21	(15/2 <sup>+</sup> )		B	
1092.3 <sup>&amp;</sup> 3	(13/2 <sup>+</sup> )		B	

Continued on next page (footnotes at end of table)

Adopted Levels, Gammas (continued) $^{131}\text{Nd}$  Levels (continued)

E(level) <sup>‡</sup>	J <sup>π</sup> <sup>†</sup>	XREF	Comments
1116.0 <sup>e</sup> 6	(15/2 <sup>-</sup> )	B	
1198.64 <sup>a</sup> 24	(15/2 <sup>+</sup> )	B	
1201.0 <sup>b</sup> 5	(17/2 <sup>-</sup> )	B	
1282.7 <sup>d</sup> 6	(17/2 <sup>-</sup> )	B	
1342.4 <sup>h</sup> 6	(15/2 <sup>-</sup> )	B	
1377.75 <sup>#</sup> 23	(17/2 <sup>+</sup> )	B	
1459.5 <sup>c</sup> 5	(19/2 <sup>-</sup> )	B	
1570.2 <sup>&amp;</sup> 3	(17/2 <sup>+</sup> )	B	
1645.4 <sup>e</sup> 6	(19/2 <sup>-</sup> )	B	
1683.6 <sup>a</sup> 3	(19/2 <sup>+</sup> )	B	
1695.59 <sup>@</sup> 24	(19/2 <sup>+</sup> )	B	
1808.2 <sup>b</sup> 5	(21/2 <sup>-</sup> )	B	
1814.4 <sup>h</sup> 6	(19/2 <sup>-</sup> )	B	
1825.6 <sup>d</sup> 6	(21/2 <sup>-</sup> )	B	
2021.16 <sup>#</sup> 25	(21/2 <sup>+</sup> )	B	J <sup>π</sup> : stretched Q γ to (17/2 <sup>+</sup> ).
2085.5 <sup>f</sup> 11	(17/2 <sup>+</sup> )	B	J <sup>π</sup> : stretched Q γ from (21/2 <sup>+</sup> ) level, and γγ coin.
2097.7 <sup>c</sup> 5	(23/2 <sup>-</sup> )	B	
2106.1 <sup>&amp;</sup> 3	(21/2 <sup>+</sup> )	B	
2239.0 <sup>a</sup> 3	(23/2 <sup>+</sup> )	B	
2255.0 <sup>e</sup> 6	(23/2 <sup>-</sup> )	B	J <sup>π</sup> : stretched Q γ to (19/2 <sup>-</sup> ) levels, and γγ coin.
2357.8 <sup>@</sup> 3	(23/2 <sup>+</sup> )	B	J <sup>π</sup> : stretched Q γ to (19/2 <sup>+</sup> ).
2410.5 <sup>h</sup> 7	(23/2 <sup>-</sup> )	B	J <sup>π</sup> : stretched (Q) γ to (19/2 <sup>-</sup> ) level, and γγ coin.
2433.5 <sup>f</sup> 5	(21/2 <sup>+</sup> )	B	J <sup>π</sup> : (E1) γ to (19/2 <sup>-</sup> ), (E2) γ to (17/2 <sup>+</sup> ) levels.
2447.0 <sup>b</sup> 5	(25/2 <sup>-</sup> )	B	J <sup>π</sup> : D+Q γ to (23/2 <sup>-</sup> ) and Q γ to (21/2 <sup>-</sup> ) levels, and γγ coin.
2458.6 <sup>d</sup> 6	(25/2 <sup>-</sup> )	B	J <sup>π</sup> : stretched Q γ's from (29/2 <sup>-</sup> ) and to (21/2 <sup>-</sup> ) levels, and γγ coin.
2685.2 <sup>#</sup> 3	(25/2 <sup>+</sup> )	B	J <sup>π</sup> : stretched Q γ to (21/2 <sup>+</sup> ).
2716.9 <sup>&amp;</sup> 3	(25/2 <sup>+</sup> )	B	
2770.7 <sup>c</sup> 6	(27/2 <sup>-</sup> )	B	J <sup>π</sup> : D+Q γ to (25/2 <sup>-</sup> ) and Q γ to (23/2 <sup>-</sup> ) levels, and γγ coin.
2870.8 <sup>a</sup> 4	(27/2 <sup>+</sup> )	B	
2901.6 <sup>f</sup> 6	(25/2 <sup>+</sup> )	B	J <sup>π</sup> : stretched (Q) γ to (21/2 <sup>+</sup> ) levels.
2912.4 <sup>e</sup> 6	(27/2 <sup>-</sup> )	B	
3025.8 <sup>@</sup> 3	(27/2 <sup>+</sup> )	B	
3105.4 <sup>h</sup> 9	(27/2 <sup>-</sup> )	B	
3126.5 <sup>b</sup> 6	(29/2 <sup>-</sup> )	B	
3155.4 <sup>d</sup> 6	(29/2 <sup>-</sup> )	B	
3332.9 <sup>#</sup> 3	(29/2 <sup>+</sup> )	B	
3376.0 <sup>&amp;</sup> 4	(29/2 <sup>+</sup> )	B	
3470.1 <sup>f</sup> 8	(29/2 <sup>+</sup> )	B	
3474.5 <sup>c</sup> 6	(31/2 <sup>-</sup> )	B	
3578.0 <sup>a</sup> 4	(31/2 <sup>+</sup> )	B	
3589.8 <sup>e</sup> 6	(31/2 <sup>-</sup> )	B	
3661.4 <sup>@</sup> 4	(31/2 <sup>+</sup> )	B	J <sup>π</sup> : stretched Q γ to (27/2 <sup>+</sup> ).
3846.1 <sup>b</sup> 6	(33/2 <sup>-</sup> )	B	
3861.4 <sup>h</sup> 13	(31/2 <sup>-</sup> )	B	
3904.6 <sup>d</sup> 6	(33/2 <sup>-</sup> )	B	
3991.8 <sup>#</sup> 4	(33/2 <sup>+</sup> )	B	

Continued on next page (footnotes at end of table)

**Adopted Levels, Gammas (continued)**

$^{131}\text{Nd}$  Levels (continued)

E(level) <sup>‡</sup>	J <sup>π</sup> <sup>†</sup>	XREF	E(level) <sup>‡</sup>	J <sup>π</sup> <sup>†</sup>	XREF	E(level) <sup>‡</sup>	J <sup>π</sup> <sup>†</sup>	XREF
4057.5 <sup>&amp;</sup> 5	(33/2 <sup>+</sup> )	B	6469.2 <sup>&amp;</sup> 8	(45/2 <sup>+</sup> )	B	9762.8 <sup>d</sup> 15	(57/2 <sup>-</sup> )	B
4163.3 <sup>f</sup> 9	(33/2 <sup>+</sup> )	B	6490.5 <sup>d</sup> 9	(45/2 <sup>-</sup> )	B	9832.8 <sup>#</sup> 17	(57/2 <sup>+</sup> )	B
4200.3 <sup>c</sup> 6	(35/2 <sup>-</sup> )	B	6558.7 <sup>#</sup> 8	(45/2 <sup>+</sup> )	B	10188.3 <sup>c</sup> 12	(59/2 <sup>-</sup> )	B
4284.6 <sup>e</sup> 7	(35/2 <sup>-</sup> )	B	6816.5 <sup>c</sup> 9	(47/2 <sup>-</sup> )	B	10288.2 <sup>e</sup> 19	(59/2 <sup>-</sup> )	B
4348.9 <sup>a</sup> 4	(35/2 <sup>+</sup> )	B	6914.8 <sup>e</sup> 11	(47/2 <sup>-</sup> )	B	10363.7 <sup>a</sup> 20	(59/2 <sup>+</sup> )	B
4349.2 <sup>g</sup> 7	(35/2 <sup>-</sup> )	B	7053.7 <sup>a</sup> 9	(47/2 <sup>+</sup> )	B	10434.0 <sup>@</sup> 20	(59/2 <sup>+</sup> )	B
4370.6 <sup>@</sup> 4	(35/2 <sup>+</sup> )	B	7072.0 <sup>@</sup> 9	(47/2 <sup>+</sup> )	B	10554.7 <sup>g</sup> 23	(59/2 <sup>-</sup> )	B
4603.4 <sup>b</sup> 6	(37/2 <sup>-</sup> )	B	7095.6 <sup>g</sup> 14	(47/2 <sup>-</sup> )	B	10688.8 <sup>&amp;</sup> 13	(61/2 <sup>+</sup> )	B
4699.5 <sup>d</sup> 7	(37/2 <sup>-</sup> )	B	7420.3 <sup>&amp;</sup> 9	(49/2 <sup>+</sup> )	B	10833.7 <sup>b</sup> 15	(61/2 <sup>-</sup> )	B
4744.9 <sup>#</sup> 5	(37/2 <sup>+</sup> )	B	7430.9 <sup>b</sup> 9	(49/2 <sup>-</sup> )	B	11000.8 <sup>d</sup> 18	(61/2 <sup>-</sup> )	B
4789.1 <sup>&amp;</sup> 5	(37/2 <sup>+</sup> )	B	7498.4 <sup>d</sup> 11	(49/2 <sup>-</sup> )	B	11403.3 <sup>c</sup> 16	(63/2 <sup>-</sup> )	B
4945.7 <sup>f</sup> 11	(37/2 <sup>+</sup> )	B	7574.7 <sup>#</sup> 9	(49/2 <sup>+</sup> )	B	11617.8 <sup>a</sup> 22	(63/2 <sup>+</sup> )	B
4984.6 <sup>c</sup> 6	(39/2 <sup>-</sup> )	B	7867.0 <sup>c</sup> 10	(51/2 <sup>-</sup> )	B	11621.2 <sup>e</sup> 22	(63/2 <sup>-</sup> )	B
5058.8 <sup>e</sup> 8	(39/2 <sup>-</sup> )	B	7964.2 <sup>e</sup> 12	(51/2 <sup>-</sup> )	B	11723.0 <sup>@</sup> 22	(63/2 <sup>+</sup> )	B
5168.8 <sup>a</sup> 5	(39/2 <sup>+</sup> )	B	8089.7 <sup>a</sup> 13	(51/2 <sup>+</sup> )	B	11927.8 <sup>&amp;</sup> 16	(65/2 <sup>+</sup> )	B
5185.5 <sup>g</sup> 8	(39/2 <sup>-</sup> )	B	8103.0 <sup>@</sup> 13	(51/2 <sup>+</sup> )	B	12095.8 <sup>b</sup> 18	(65/2 <sup>-</sup> )	B
5203.6 <sup>@</sup> 5	(39/2 <sup>+</sup> )	B	8164.7 <sup>g</sup> 17	(51/2 <sup>-</sup> )	B	12256.8 <sup>d</sup> 21	(65/2 <sup>-</sup> )	B
5453.8 <sup>b</sup> 7	(41/2 <sup>-</sup> )	B	8438.3 <sup>&amp;</sup> 11	(53/2 <sup>+</sup> )	B	12675.3 <sup>c</sup> 19	(67/2 <sup>-</sup> )	B
5559.1 <sup>d</sup> 8	(41/2 <sup>-</sup> )	B	8510.2 <sup>b</sup> 10	(53/2 <sup>-</sup> )	B	12950.8 <sup>a</sup> 24	(67/2 <sup>+</sup> )	B
5586.4 <sup>&amp;</sup> 6	(41/2 <sup>+</sup> )	B	8587.8 <sup>d</sup> 12	(53/2 <sup>-</sup> )	B	13241.8 <sup>&amp;</sup> 19	(69/2 <sup>+</sup> )	B
5612.5 <sup>#</sup> 6	(41/2 <sup>+</sup> )	B	8668.7 <sup>#</sup> 14	(53/2 <sup>+</sup> )	B	13432.8 <sup>b</sup> 21	(69/2 <sup>-</sup> )	B
5772.7 <sup>f</sup> 15	(41/2 <sup>+</sup> )	B	9004.5 <sup>c</sup> 11	(55/2 <sup>-</sup> )	B	13515.7 <sup>d</sup> 24	(69/2 <sup>-</sup> )	B
5856.5 <sup>c</sup> 7	(43/2 <sup>-</sup> )	B	9076.2 <sup>e</sup> 16	(55/2 <sup>-</sup> )	B	14011.3 <sup>c</sup> 21	(71/2 <sup>-</sup> )	B
5938.6 <sup>e</sup> 9	(43/2 <sup>-</sup> )	B	9190.7 <sup>a</sup> 17	(55/2 <sup>+</sup> )	B	14637.8 <sup>&amp;</sup> 22	(73/2 <sup>+</sup> )	B
6077.6 <sup>a</sup> 7	(43/2 <sup>+</sup> )	B	9224.0 <sup>@</sup> 17	(55/2 <sup>+</sup> )	B	15418.2 <sup>c</sup> 24	(75/2 <sup>-</sup> )	B
6103.6 <sup>g</sup> 10	(43/2 <sup>-</sup> )	B	9317.7 <sup>g</sup> 20	(55/2 <sup>-</sup> )	B	16106.9 <sup>?&amp;</sup> 24	(77/2 <sup>+</sup> )	B
6107.1 <sup>@</sup> 7	(43/2 <sup>+</sup> )	B	9526.3 <sup>&amp;</sup> 12	(57/2 <sup>+</sup> )	B			
6405.1 <sup>b</sup> 7	(45/2 <sup>-</sup> )	B	9641.7 <sup>b</sup> 11	(57/2 <sup>-</sup> )	B			

<sup>†</sup> From stretched Q(assumed E2) and D+Q(assumed M1+E2)  $\gamma$  cascades to bandhead, and regular sequence of transitions in a cascade, except as noted.

<sup>‡</sup> From least-squares fit to  $E\gamma$ 's.

<sup>#</sup> Band(A): band based on configuration= $\nu 5/2[402]$ ,  $\alpha=+1/2$ ; ( $\Delta=115$  keV). J=(37/2<sup>+</sup>)/(57/2<sup>+</sup>) values assigned from strong in-band stretched Q (assumed E2) transitions.

<sup>@</sup> Band(B): band based on configuration= $\nu 5/2[402]$ ,  $\alpha=-1/2$ ; ( $\Delta=181$  keV). J=(39/2<sup>+</sup>)/(63/2<sup>+</sup>) values assigned from strong in-band stretched Q (assumed E2) transitions. Unified band A+B (K=5/2,  $\Delta=158$  keV).

<sup>&</sup> Band(C): band based on configuration= $\nu 1/2[411]$ ,  $\alpha=+1/2$ ; ( $\Delta=186$  keV). J=(21/2<sup>+</sup>)/(77/2<sup>+</sup>) values assigned from strong in-band stretched Q (assumed E2) transitions.

<sup>a</sup> Band(D): band based on configuration= $\nu 1/2[411]$ ,  $\alpha=-1/2$ ; ( $\Delta=245$  keV). J=(23/2<sup>+</sup>)/(67/2<sup>+</sup>) values assigned from strong in-band stretched Q (assumed E2) transitions. Unified band C+D (K=1/2,  $\Delta=353$  keV).

<sup>b</sup> Band(E): band based on configuration= $\nu 7/2[523]$ ,  $\alpha=+1/2$ ; ( $\Delta=140$  keV). J=(45/2<sup>-</sup>)/(69/2<sup>-</sup>) values assigned from strong in-

<sup>c</sup> Band(F): band based on configuration= $\nu 7/2[523]$ ,  $\alpha=-1/2$ ; ( $\Delta=105$  keV). J=(43/2<sup>-</sup>)/(75/2<sup>-</sup>) values assigned from strong in-band stretched Q (assumed E2) transitions. Unified band e<sup>+</sup>F (K=7/2,  $\Delta=106$  keV).

<sup>d</sup> Band(G): band based on configuration= $\nu 1/2[541]$ ,  $\alpha=+1/2$ ; ( $\Delta>500$  keV). J=(33/2<sup>-</sup>)/(65/2<sup>-</sup>) values assigned from strong in-band stretched Q (assumed E2) transitions.

Adopted Levels, Gammas (continued) $^{131}\text{Nd}$  Levels (continued)

<sup>e</sup> Band(H): band based on configuration= $\nu 1/2[541]$ ,  $\alpha=-1/2$ ; ( $\Delta=114$  keV).  $J=(23/2^-)/(63/2^-)$  values assigned from strong in-band stretched Q (assumed E2) transitions. Unified band G+H ( $K=1/2$ ,  $\Delta=95$  keV).

<sup>f</sup> Band(I): band based on  $(17/2^+)$ ; ( $\Delta=39$  keV).

<sup>g</sup> Band(J): band based on  $(35/2^-)$ ; ( $\Delta=4$  keV).  $J=(39/2^-)/(59/2^-)$  values assigned from strong in-band stretched Q (assumed E2) transitions.

<sup>h</sup> Band(K): band based on  $(11/2^-)$ ,  $\Delta J=2$ ; ( $\Delta=25$  keV).

$E_i(\text{level})$	$J_i^\pi$	$E_\gamma^\dagger$	$I_\gamma$	$E_f$	$J_f^\pi$	Mult.	$\gamma(^{131}\text{Nd})$	Comments
140.98	$(3/2^+)$	140.9 5		0.0	$(5/2^+)$	D+Q		
146.04	$(7/2^+)$	145.9 4		0.0	$(5/2^+)$	D+Q		
210.8	$(7/2^-)$	210.6 5	100	0.0	$(5/2^+)$	(E1)		B(E1)(W.u.) $\approx 5.4 \times 10^{-7}$ Mult.: RUL does not exclude mult.=M1 or =E2, but the transition states in the scheme between $J^\pi=(7/2^-)$ and $J^\pi=(5/2^+)$ states.
300.0	$(5/2^-)$	108.6 5		191.4	$(1/2^-)$	Q		
302.8	$(9/2^-)$	92.2 5		210.8	$(7/2^-)$	(D+Q)		
321.0	$(5/2^+)$	179.9 3	100	140.98	$(3/2^+)$	D+Q		
		207.1 5	67 7	113.9	$(1/2^+)$	Q		
331.19	$(9/2^+)$	185.00 19	100	146.04	$(7/2^+)$	D+Q		
		331.3 2	48 3	0.0	$(5/2^+)$	Q		
380.7	$(7/2^+)$	380.6		0.0	$(5/2^+)$			
387.74	$(7/2^+)$	67 <sup>‡</sup> 1	<8	321.0	$(5/2^+)$	(D+Q)		
		246.8 2	100	140.98	$(3/2^+)$	Q		
		387.7 2	62 3	0.0	$(5/2^+)$	D+Q		
394.5	$(7/2^-)$	94.5 3	56 4	300.0	$(5/2^-)$	(D+Q)		
		168.7 2	100	225.8	$(3/2^-)$	Q		
453.4	$(11/2^-)$	150.5 2	100	302.8	$(9/2^-)$	D+Q		
		242.6 2	21 2	210.8	$(7/2^-)$	Q		
515.0	$(9/2^-)$	215.0 2	100	300.0	$(5/2^-)$	Q		
551.41	$(11/2^+)$	220.16 19	100	331.19	$(9/2^+)$	D+Q		
		405.5 2	88 5	146.04	$(7/2^+)$	Q		
666.1	$(9/2^+)$	278.2 5	34 3	387.74	$(7/2^+)$	D+Q		
		285.9 5	12 2	380.7	$(7/2^+)$	(D+Q)		
		345.1 2	100	321.0	$(5/2^+)$	Q		
676.9	$(13/2^-)$	223.3 2	100	453.4	$(11/2^-)$	D+Q		
		374.1 2	65 4	302.8	$(9/2^-)$	Q		
693.0	$(11/2^-)$	177.8 5	20.3 14	515.0	$(9/2^-)$	D+Q		
		298.5 2	100	394.5	$(7/2^-)$	Q		
760.60	$(11/2^+)$	372.9 2	100	387.74	$(7/2^+)$	Q		
		379.7 3	23 1	380.7	$(7/2^+)$	Q		
801.58	$(13/2^+)$	250.3 2	73 4	551.41	$(11/2^+)$	D+Q		
		470.4 2	100	331.19	$(9/2^+)$	Q		
842.7	$(13/2^-)$	327.8 2	100 4	515.0	$(9/2^-)$	Q		
895.8	$(15/2^-)$	218.9 2	56 3	676.9	$(13/2^-)$	D+Q		
		442.4 2	100	453.4	$(11/2^-)$	Q		
1079.47	$(15/2^+)$	277.9 2	59 3	801.58	$(13/2^+)$	D+Q		
		528.0 2	100	551.41	$(11/2^+)$	Q		
1092.3	$(13/2^+)$	331.6 5	33 3	760.60	$(11/2^+)$	D+Q		
		426.1 2	100	666.1	$(9/2^+)$	Q		
1116.0	$(15/2^-)$	273.4 5	9.4 10	842.7	$(13/2^-)$	(D+Q)		
		423.0 2	100	693.0	$(11/2^-)$	Q		
1198.64	$(15/2^+)$	438.0 2	100	760.60	$(11/2^+)$	Q		
1201.0	$(17/2^-)$	305.1 2	61 4	895.8	$(15/2^-)$	D+Q		

Continued on next page (footnotes at end of table)

Adopted Levels, Gammas (continued) $\gamma(^{131}\text{Nd})$  (continued)

$E_i(\text{level})$	$J_i^\pi$	$E_\gamma^\dagger$	$I_\gamma$	$E_f$	$J_f^\pi$	Mult.
1201.0	(17/2 <sup>-</sup> )	524.1 2	100	676.9	(13/2 <sup>-</sup> )	Q
1282.7	(17/2 <sup>-</sup> )	440.0 2	100	842.7	(13/2 <sup>-</sup> )	Q
1342.4	(15/2 <sup>-</sup> )	306 <sup>‡</sup> 1	<30	1036.4?	(11/2 <sup>-</sup> )	(Q)
		446.7 5	78 8	895.8	(15/2 <sup>-</sup> )	(D+Q)
		665.5 3	100	676.9	(13/2 <sup>-</sup> )	(D+Q)
1377.75	(17/2 <sup>+</sup> )	298.2 2	46 4	1079.47	(15/2 <sup>+</sup> )	D+Q
		576.3 2	100	801.58	(13/2 <sup>+</sup> )	Q
1459.5	(19/2 <sup>-</sup> )	258.4 2	29 2	1201.0	(17/2 <sup>-</sup> )	D+Q
		563.9 2	100	895.8	(15/2 <sup>-</sup> )	Q
1570.2	(17/2 <sup>+</sup> )	372.0 5	15 2	1198.64	(15/2 <sup>+</sup> )	(D+Q)
		477.9 2	100	1092.3	(13/2 <sup>+</sup> )	Q
1645.4	(19/2 <sup>-</sup> )	362.6 5	8 1	1282.7	(17/2 <sup>-</sup> )	(D+Q)
		529.4 2	100	1116.0	(15/2 <sup>-</sup> )	Q
1683.6	(19/2 <sup>+</sup> )	484.9 2	100	1198.64	(15/2 <sup>+</sup> )	Q
		604.5 3	20 2	1079.47	(15/2 <sup>+</sup> )	Q
1695.59	(19/2 <sup>+</sup> )	318.0 3	36 4	1377.75	(17/2 <sup>+</sup> )	D+Q
		496.9 5	8.5 9	1198.64	(15/2 <sup>+</sup> )	(Q)
		616.0 2	100	1079.47	(15/2 <sup>+</sup> )	Q
1808.2	(21/2 <sup>-</sup> )	349.1 2	37 3	1459.5	(19/2 <sup>-</sup> )	D+Q
		607.1 2	100	1201.0	(17/2 <sup>-</sup> )	Q
1814.4	(19/2 <sup>-</sup> )	472.0 3	100	1342.4	(15/2 <sup>-</sup> )	(Q)
		613.5 5	44 5	1201.0	(17/2 <sup>-</sup> )	(D+Q)
1825.6	(21/2 <sup>-</sup> )	542.9 2	100	1282.7	(17/2 <sup>-</sup> )	Q
2021.16	(21/2 <sup>+</sup> )	325.5 3	25 2	1695.59	(19/2 <sup>+</sup> )	(D+Q)
		643.4 2	100	1377.75	(17/2 <sup>+</sup> )	Q
2097.7	(23/2 <sup>-</sup> )	289.7 2	28.5 11	1808.2	(21/2 <sup>-</sup> )	D+Q
		637.9 2	100	1459.5	(19/2 <sup>-</sup> )	Q
2106.1	(21/2 <sup>+</sup> )	536.0 2	100	1570.2	(17/2 <sup>+</sup> )	Q
2239.0	(23/2 <sup>+</sup> )	555.4 2	100	1683.6	(19/2 <sup>+</sup> )	Q
2255.0	(23/2 <sup>-</sup> )	609.6 2	100	1645.4	(19/2 <sup>-</sup> )	Q
2357.8	(23/2 <sup>+</sup> )	336.9 3	28 2	2021.16	(21/2 <sup>+</sup> )	D+Q
		662.2 2	100	1695.59	(19/2 <sup>+</sup> )	Q
2410.5	(23/2 <sup>-</sup> )	596.1 3	100	1814.4	(19/2 <sup>-</sup> )	(Q)
2433.5	(21/2 <sup>+</sup> )	348 1	<71	2085.5	(17/2 <sup>+</sup> )	(Q)
		788 1	<71	1645.4	(19/2 <sup>-</sup> )	(E1)
		863.3 5	100	1570.2	(17/2 <sup>+</sup> )	(E2)
2447.0	(25/2 <sup>-</sup> )	348.6 3	32 4	2097.7	(23/2 <sup>-</sup> )	D+Q
		621.4 3	32 2	1825.6	(21/2 <sup>-</sup> )	Q
		638.9 2	100	1808.2	(21/2 <sup>-</sup> )	Q
2458.6	(25/2 <sup>-</sup> )	632.9 2	100	1825.6	(21/2 <sup>-</sup> )	Q
		650.3 5	26 3	1808.2	(21/2 <sup>-</sup> )	Q
2685.2	(25/2 <sup>+</sup> )	327.0 5	25 3	2357.8	(23/2 <sup>+</sup> )	(D+Q)
		579.0 5	17 2	2106.1	(21/2 <sup>+</sup> )	(Q)
		664.0 2	100	2021.16	(21/2 <sup>+</sup> )	Q
2716.9	(25/2 <sup>+</sup> )	610.8 2	100	2106.1	(21/2 <sup>+</sup> )	Q
		695.5 3	38 4	2021.16	(21/2 <sup>+</sup> )	(Q)
2770.7	(27/2 <sup>-</sup> )	311.7 5	7.9 10	2458.6	(25/2 <sup>-</sup> )	(D+Q)
		323.6 3	19.4 15	2447.0	(25/2 <sup>-</sup> )	D+Q
		673.1 2	100	2097.7	(23/2 <sup>-</sup> )	Q
2870.8	(27/2 <sup>+</sup> )	631.8 2	100	2239.0	(23/2 <sup>+</sup> )	Q
2901.6	(25/2 <sup>+</sup> )	468.1 5	100	2433.5	(21/2 <sup>+</sup> )	(Q)
		646 1	<71	2255.0	(23/2 <sup>-</sup> )	(E1)
		796 1	<71	2106.1	(21/2 <sup>+</sup> )	(Q)
2912.4	(27/2 <sup>-</sup> )	657.4 2	100	2255.0	(23/2 <sup>-</sup> )	Q
3025.8	(27/2 <sup>+</sup> )	340.6 5	25 3	2685.2	(25/2 <sup>+</sup> )	(D+Q)

Continued on next page (footnotes at end of table)

Adopted Levels, Gammas (continued) $\gamma(^{131}\text{Nd})$  (continued)

$E_i(\text{level})$	$J_i^\pi$	$E_\gamma^\dagger$	$I_\gamma$	$E_f$	$J_f^\pi$	Mult.
3025.8	(27/2 <sup>+</sup> )	668.1 2	100	2357.8	(23/2 <sup>+</sup> )	(Q)
3105.4	(27/2 <sup>-</sup> )	694.9 5	100	2410.5	(23/2 <sup>-</sup> )	(Q)
3126.5	(29/2 <sup>-</sup> )	355.6 3	23 2	2770.7	(27/2 <sup>-</sup> )	D+Q
		667.8 5	7.9 15	2458.6	(25/2 <sup>-</sup> )	(Q)
		679.6 2	100	2447.0	(25/2 <sup>-</sup> )	Q
3155.4	(29/2 <sup>-</sup> )	696.9 2	100	2458.6	(25/2 <sup>-</sup> )	Q
		708.2 5	13 2	2447.0	(25/2 <sup>-</sup> )	(Q)
3332.9	(29/2 <sup>+</sup> )	307.4 5	23 3	3025.8	(27/2 <sup>+</sup> )	(D+Q)
		647.5 2	100	2685.2	(25/2 <sup>+</sup> )	Q
3376.0	(29/2 <sup>+</sup> )	659.1 2	100	2716.9	(25/2 <sup>+</sup> )	Q
3470.1	(29/2 <sup>+</sup> )	568.5 5	100	2901.6	(25/2 <sup>+</sup> )	(Q)
		753 <sup>‡</sup> 1	<44	2716.9	(25/2 <sup>+</sup> )	(Q)
3474.5	(31/2 <sup>-</sup> )	347.9 3	22 2	3126.5	(29/2 <sup>-</sup> )	D+Q
		703.9 2	100	2770.7	(27/2 <sup>-</sup> )	Q
3578.0	(31/2 <sup>+</sup> )	707.3 2	100	2870.8	(27/2 <sup>+</sup> )	Q
3589.8	(31/2 <sup>-</sup> )	677.4 2	100	2912.4	(27/2 <sup>-</sup> )	Q
3661.4	(31/2 <sup>+</sup> )	328.5 5	31 4	3332.9	(29/2 <sup>+</sup> )	(D+Q)
		635.9 3	100	3025.8	(27/2 <sup>+</sup> )	(Q)
3846.1	(33/2 <sup>-</sup> )	371.3 5	20 2	3474.5	(31/2 <sup>-</sup> )	D+Q
		719.5 2	100	3126.5	(29/2 <sup>-</sup> )	Q
3861.4	(31/2 <sup>-</sup> )	756 1	100	3105.4	(27/2 <sup>-</sup> )	(Q)
3904.6	(33/2 <sup>-</sup> )	749.2 2	100	3155.4	(29/2 <sup>-</sup> )	Q
3991.8	(33/2 <sup>+</sup> )	330.8 5	30 4	3661.4	(31/2 <sup>+</sup> )	(D+Q)
		658.7 3	100	3332.9	(29/2 <sup>+</sup> )	(Q)
4057.5	(33/2 <sup>+</sup> )	681.4 3	100	3376.0	(29/2 <sup>+</sup> )	(Q)
4163.3	(33/2 <sup>+</sup> )	693.2 5	100	3470.1	(29/2 <sup>+</sup> )	(Q)
		787 <sup>‡</sup> 1	<44	3376.0	(29/2 <sup>+</sup> )	(Q)
4200.3	(35/2 <sup>-</sup> )	353.7 5	21 3	3846.1	(33/2 <sup>-</sup> )	(D+Q)
		725.9 2	100	3474.5	(31/2 <sup>-</sup> )	Q
4284.6	(35/2 <sup>-</sup> )	694.8 3	100	3589.8	(31/2 <sup>-</sup> )	(Q)
4348.9	(35/2 <sup>+</sup> )	687.8 5	18 2	3661.4	(31/2 <sup>+</sup> )	(Q)
		770.9 2	100	3578.0	(31/2 <sup>+</sup> )	Q
4349.2	(35/2 <sup>-</sup> )	759.6 5	71 7	3589.8	(31/2 <sup>-</sup> )	(Q)
		874.6 5	100	3474.5	(31/2 <sup>-</sup> )	(Q)
4370.6	(35/2 <sup>+</sup> )	378.3 5	33 5	3991.8	(33/2 <sup>+</sup> )	(D+Q)
		709.0 5	89 9	3661.4	(31/2 <sup>+</sup> )	(Q)
		792.7 5	100	3578.0	(31/2 <sup>+</sup> )	Q
4603.4	(37/2 <sup>-</sup> )	403.2 5	31 4	4200.3	(35/2 <sup>-</sup> )	(D+Q)
		757.2 2	100	3846.1	(33/2 <sup>-</sup> )	Q
4699.5	(37/2 <sup>-</sup> )	794.9 3	100	3904.6	(33/2 <sup>-</sup> )	Q
4744.9	(37/2 <sup>+</sup> )	753.1 3	100	3991.8	(33/2 <sup>+</sup> )	Q
4789.1	(37/2 <sup>+</sup> )	731.6 3	100	4057.5	(33/2 <sup>+</sup> )	(Q)
4945.7	(37/2 <sup>+</sup> )	782.4 5	100	4163.3	(33/2 <sup>+</sup> )	(Q)
4984.6	(39/2 <sup>-</sup> )	380.5 5	23 3	4603.4	(37/2 <sup>-</sup> )	(D+Q)
		784.3 2	100	4200.3	(35/2 <sup>-</sup> )	Q
5058.8	(39/2 <sup>-</sup> )	774.2 3	100	4284.6	(35/2 <sup>-</sup> )	(Q)
5168.8	(39/2 <sup>+</sup> )	819.9 2	100	4348.9	(35/2 <sup>+</sup> )	(Q)
5185.5	(39/2 <sup>-</sup> )	836.3 5	100	4349.2	(35/2 <sup>-</sup> )	(Q)
5203.6	(39/2 <sup>+</sup> )	832.9 3	100	4370.6	(35/2 <sup>+</sup> )	(Q)
		855.1 5	54 5	4348.9	(35/2 <sup>+</sup> )	(Q)
5453.8	(41/2 <sup>-</sup> )	468.6 5	25 4	4984.6	(39/2 <sup>-</sup> )	(D+Q)
		850.7 3	100	4603.4	(37/2 <sup>-</sup> )	Q
5559.1	(41/2 <sup>-</sup> )	859.6 3	100	4699.5	(37/2 <sup>-</sup> )	(Q)
5586.4	(41/2 <sup>+</sup> )	797.0 5	100	4789.1	(37/2 <sup>+</sup> )	(Q)
		841.7 5	56 9	4744.9	(37/2 <sup>+</sup> )	(Q)

Continued on next page (footnotes at end of table)

Adopted Levels, Gammas (continued) $\gamma(^{131}\text{Nd})$  (continued)

$E_i(\text{level})$	$J_i^\pi$	$E_\gamma^\dagger$	$I_\gamma$	$E_f$	$J_f^\pi$	Mult.
5612.5	(41/2 <sup>+</sup> )	823.3 5	45 5	4789.1	(37/2 <sup>+</sup> )	(Q)
		867.6 5	100	4744.9	(37/2 <sup>+</sup> )	(Q)
5772.7?	(41/2 <sup>+</sup> )	827 <sup>±</sup> 1	100	4945.7	(37/2 <sup>+</sup> )	(Q)
5856.5	(43/2 <sup>-</sup> )	871.9 3	100	4984.6	(39/2 <sup>-</sup> )	(Q)
5938.6	(43/2 <sup>-</sup> )	879.8 5	100	5058.8	(39/2 <sup>-</sup> )	(Q)
6077.6	(43/2 <sup>+</sup> )	908.8 5	100	5168.8	(39/2 <sup>+</sup> )	(Q)
6103.6	(43/2 <sup>-</sup> )	918.1 5	100	5185.5	(39/2 <sup>-</sup> )	(Q)
6107.1	(43/2 <sup>+</sup> )	903.5 5	100	5203.6	(39/2 <sup>+</sup> )	(Q)
6405.1	(45/2 <sup>-</sup> )	951.3 3	100	5453.8	(41/2 <sup>-</sup> )	(Q)
6469.2	(45/2 <sup>+</sup> )	882.8 5	100	5586.4	(41/2 <sup>+</sup> )	(Q)
6490.5	(45/2 <sup>-</sup> )	931.4 5	100	5559.1	(41/2 <sup>-</sup> )	(Q)
6558.7	(45/2 <sup>+</sup> )	946.2 5	100	5612.5	(41/2 <sup>+</sup> )	(Q)
6816.5	(47/2 <sup>-</sup> )	960.0 5	100	5856.5	(43/2 <sup>-</sup> )	(Q)
6914.8	(47/2 <sup>-</sup> )	976.2 5	100	5938.6	(43/2 <sup>-</sup> )	(Q)
7053.7	(47/2 <sup>+</sup> )	976.1 5	100	6077.6	(43/2 <sup>+</sup> )	(Q)
7072.0	(47/2 <sup>+</sup> )	964.9 5	100	6107.1	(43/2 <sup>+</sup> )	(Q)
7095.6	(47/2 <sup>-</sup> )	992 1	100	6103.6	(43/2 <sup>-</sup> )	(Q)
7420.3	(49/2 <sup>+</sup> )	951.1 5	100	6469.2	(45/2 <sup>+</sup> )	(Q)
7430.9	(49/2 <sup>-</sup> )	1025.8 5	100	6405.1	(45/2 <sup>-</sup> )	(Q)
7498.4	(49/2 <sup>-</sup> )	1007.8 5	100	6490.5	(45/2 <sup>-</sup> )	(Q)
7574.7	(49/2 <sup>+</sup> )	1016.0 5	100	6558.7	(45/2 <sup>+</sup> )	(Q)
7867.0	(51/2 <sup>-</sup> )	1050.5 5	100	6816.5	(47/2 <sup>-</sup> )	(Q)
7964.2	(51/2 <sup>-</sup> )	1049.4 5	100	6914.8	(47/2 <sup>-</sup> )	(Q)
8089.7	(51/2 <sup>+</sup> )	1036 1	100	7053.7	(47/2 <sup>+</sup> )	(Q)
8103.0	(51/2 <sup>+</sup> )	1031 1	100	7072.0	(47/2 <sup>+</sup> )	(Q)
8164.7	(51/2 <sup>-</sup> )	1069 1	100	7095.6	(47/2 <sup>-</sup> )	(Q)
8438.3	(53/2 <sup>+</sup> )	1018.0 5	100	7420.3	(49/2 <sup>+</sup> )	(Q)
8510.2	(53/2 <sup>-</sup> )	1079.3 5	100	7430.9	(49/2 <sup>-</sup> )	(Q)
8587.8	(53/2 <sup>-</sup> )	1089.4 5	100	7498.4	(49/2 <sup>-</sup> )	(Q)
8668.7	(53/2 <sup>+</sup> )	1094 1	100	7574.7	(49/2 <sup>+</sup> )	(Q)
9004.5	(55/2 <sup>-</sup> )	1137.5 5	100	7867.0	(51/2 <sup>-</sup> )	(Q)
9076.2	(55/2 <sup>-</sup> )	1112 1	100	7964.2	(51/2 <sup>-</sup> )	(Q)
9190.7	(55/2 <sup>+</sup> )	1101 1	100	8089.7	(51/2 <sup>+</sup> )	(Q)
9224.0	(55/2 <sup>+</sup> )	1121 1	100	8103.0	(51/2 <sup>+</sup> )	(Q)
9317.7	(55/2 <sup>-</sup> )	1153 1	100	8164.7	(51/2 <sup>-</sup> )	(Q)
9526.3	(57/2 <sup>+</sup> )	1088.0 5	100	8438.3	(53/2 <sup>+</sup> )	(Q)
9641.7	(57/2 <sup>-</sup> )	1131.5 5	100	8510.2	(53/2 <sup>-</sup> )	(Q)
9762.8	(57/2 <sup>-</sup> )	1175 1	100	8587.8	(53/2 <sup>-</sup> )	(Q)
9832.8?	(57/2 <sup>+</sup> )	1164 <sup>±</sup> 1	100	8668.7	(53/2 <sup>+</sup> )	(Q)
10188.3	(59/2 <sup>-</sup> )	1183.8 5	100	9004.5	(55/2 <sup>-</sup> )	(Q)
10288.2	(59/2 <sup>-</sup> )	1212 1	100	9076.2	(55/2 <sup>-</sup> )	(Q)
10363.7	(59/2 <sup>+</sup> )	1173 1	100	9190.7	(55/2 <sup>+</sup> )	(Q)
10434.0	(59/2 <sup>+</sup> )	1210 1	100	9224.0	(55/2 <sup>+</sup> )	(Q)
10554.7	(59/2 <sup>-</sup> )	1237 1	100	9317.7	(55/2 <sup>-</sup> )	(Q)
10688.8	(61/2 <sup>+</sup> )	1162.5 5	100	9526.3	(57/2 <sup>+</sup> )	(Q)
10833.7	(61/2 <sup>-</sup> )	1192 1	100	9641.7	(57/2 <sup>-</sup> )	(Q)
11000.8	(61/2 <sup>-</sup> )	1238 1	100	9762.8	(57/2 <sup>-</sup> )	(Q)
11403.3	(63/2 <sup>-</sup> )	1215 1	100	10188.3	(59/2 <sup>-</sup> )	(Q)
11617.8	(63/2 <sup>+</sup> )	1254	100	10363.7	(59/2 <sup>+</sup> )	(Q)
11621.2?	(63/2 <sup>-</sup> )	1333 <sup>±</sup> 1	100	10288.2	(59/2 <sup>-</sup> )	(Q)
11723.0	(63/2 <sup>+</sup> )	1289 1	100	10434.0	(59/2 <sup>+</sup> )	(Q)
11927.8	(65/2 <sup>+</sup> )	1239 1	100	10688.8	(61/2 <sup>+</sup> )	(Q)
12095.8	(65/2 <sup>-</sup> )	1262 1	100	10833.7	(61/2 <sup>-</sup> )	(Q)
12256.8	(65/2 <sup>-</sup> )	1256 1	100	11000.8	(61/2 <sup>-</sup> )	(Q)
12675.3	(67/2 <sup>-</sup> )	1272 1	100	11403.3	(63/2 <sup>-</sup> )	(Q)

Continued on next page (footnotes at end of table)

Adopted Levels, Gammas (continued) $\gamma(^{131}\text{Nd})$  (continued)

<u><math>E_i(\text{level})</math></u>	<u><math>J_i^\pi</math></u>	<u><math>E_\gamma</math></u> <sup>†</sup>	<u><math>I_\gamma</math></u>	<u><math>E_f</math></u>	<u><math>J_f^\pi</math></u>	<u>Mult.</u>
12950.8	(67/2 <sup>+</sup> )	1333 <i>I</i>	100	11617.8	(63/2 <sup>+</sup> )	(Q)
13241.8	(69/2 <sup>+</sup> )	1314 <i>I</i>	100	11927.8	(65/2 <sup>+</sup> )	(Q)
13432.8	(69/2 <sup>-</sup> )	1337 <i>I</i>	100	12095.8	(65/2 <sup>-</sup> )	(Q)
13515.7?	(69/2 <sup>-</sup> )	1259 <sup>‡</sup> <i>I</i>	100	12256.8	(65/2 <sup>-</sup> )	(Q)
14011.3	(71/2 <sup>-</sup> )	1336 <i>I</i>	100	12675.3	(67/2 <sup>-</sup> )	(Q)
14637.8	(73/2 <sup>+</sup> )	1396 <i>I</i>	100	13241.8	(69/2 <sup>+</sup> )	(Q)
15418.2?	(75/2 <sup>-</sup> )	1407 <sup>‡</sup> <i>I</i>	100	14011.3	(71/2 <sup>-</sup> )	(Q)
16106.9?	(77/2 <sup>+</sup> )	1469 <sup>‡</sup> <i>I</i>	100	14637.8	(73/2 <sup>+</sup> )	(Q)

<sup>†</sup> Weighted average from all available data.

<sup>‡</sup> Placement of transition in the level scheme is uncertain.

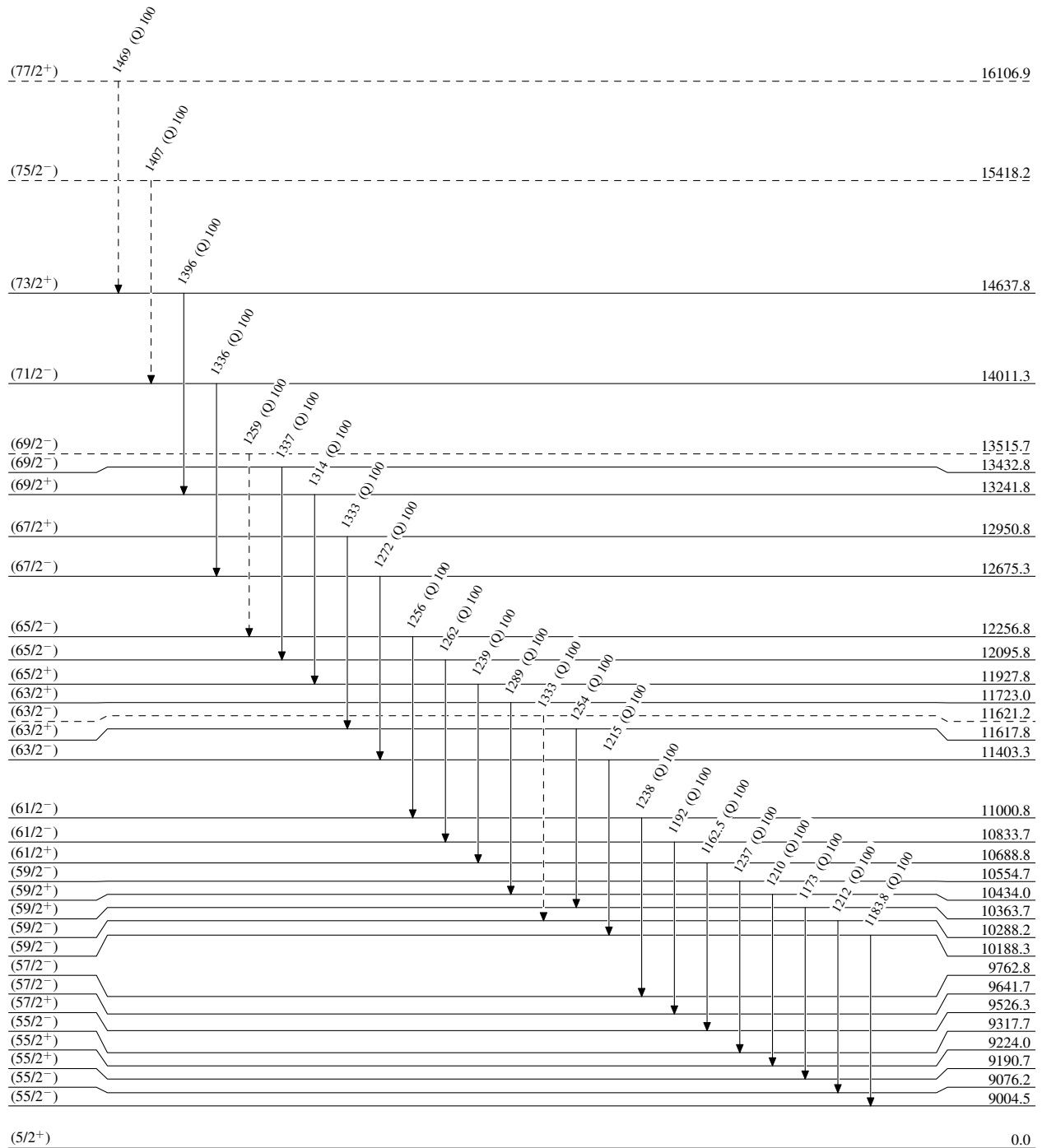


**Adopted Levels, Gammas**

Legend

**Level Scheme**

Intensities: Relative photon branching from each level

-----►  $\gamma$  Decay (Uncertain)

25.4 s 9

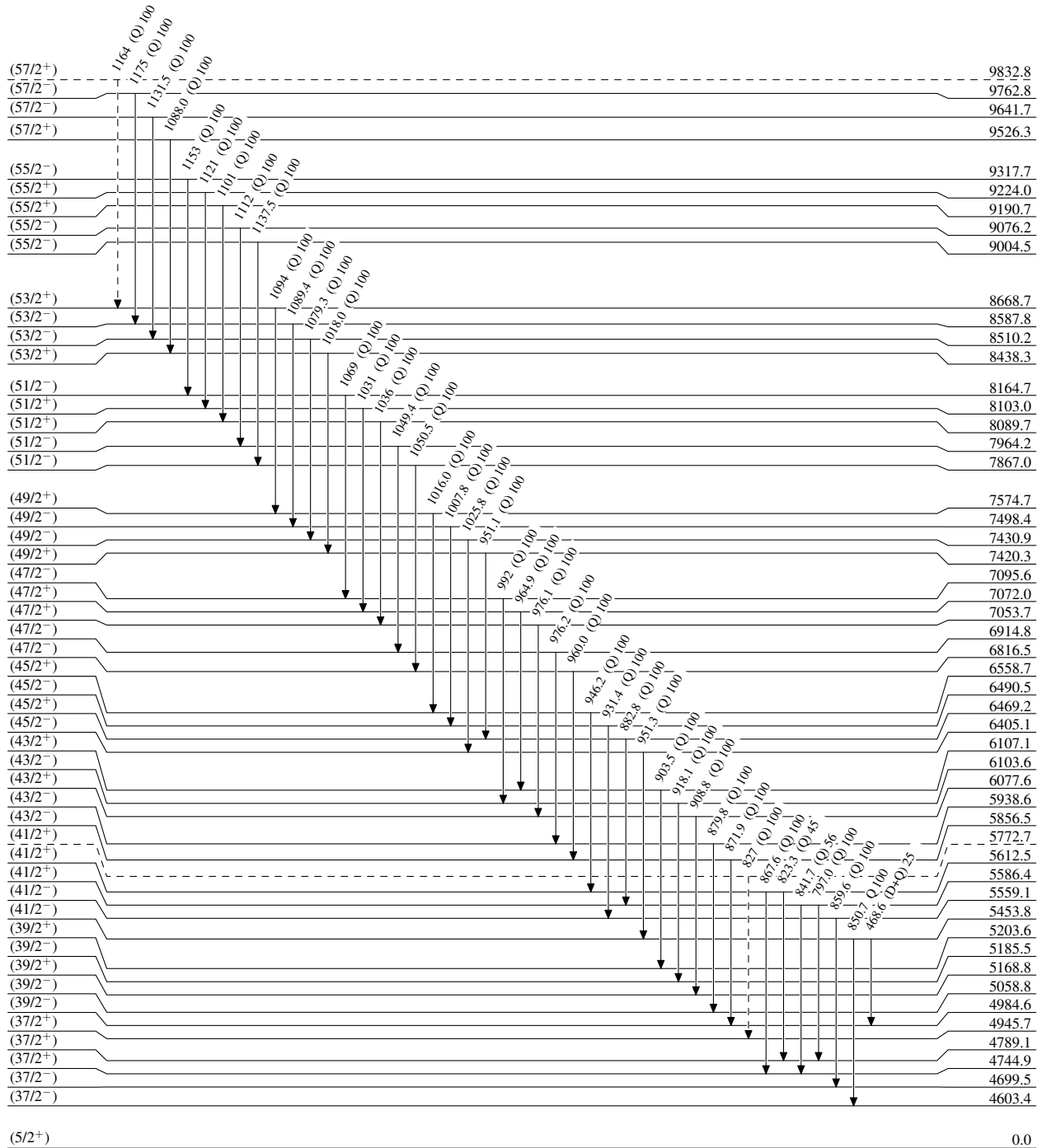
Adopted Levels, Gammas

Legend

Level Scheme (continued)

Intensities: Relative photon branching from each level

-----▶  $\gamma$  Decay (Uncertain)



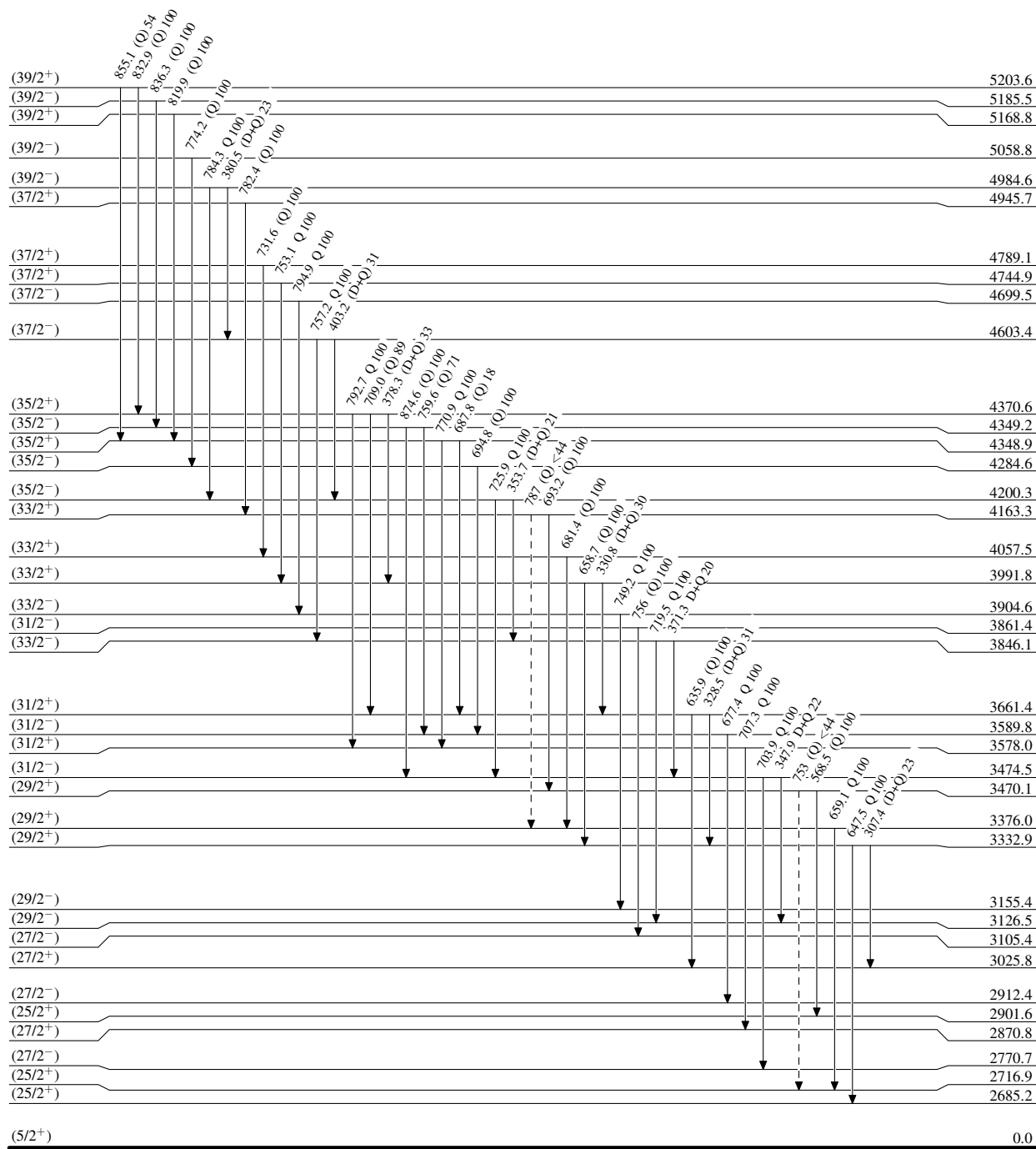
**Adopted Levels, Gammas**

Legend

**Level Scheme (continued)**

Intensities: Relative photon branching from each level

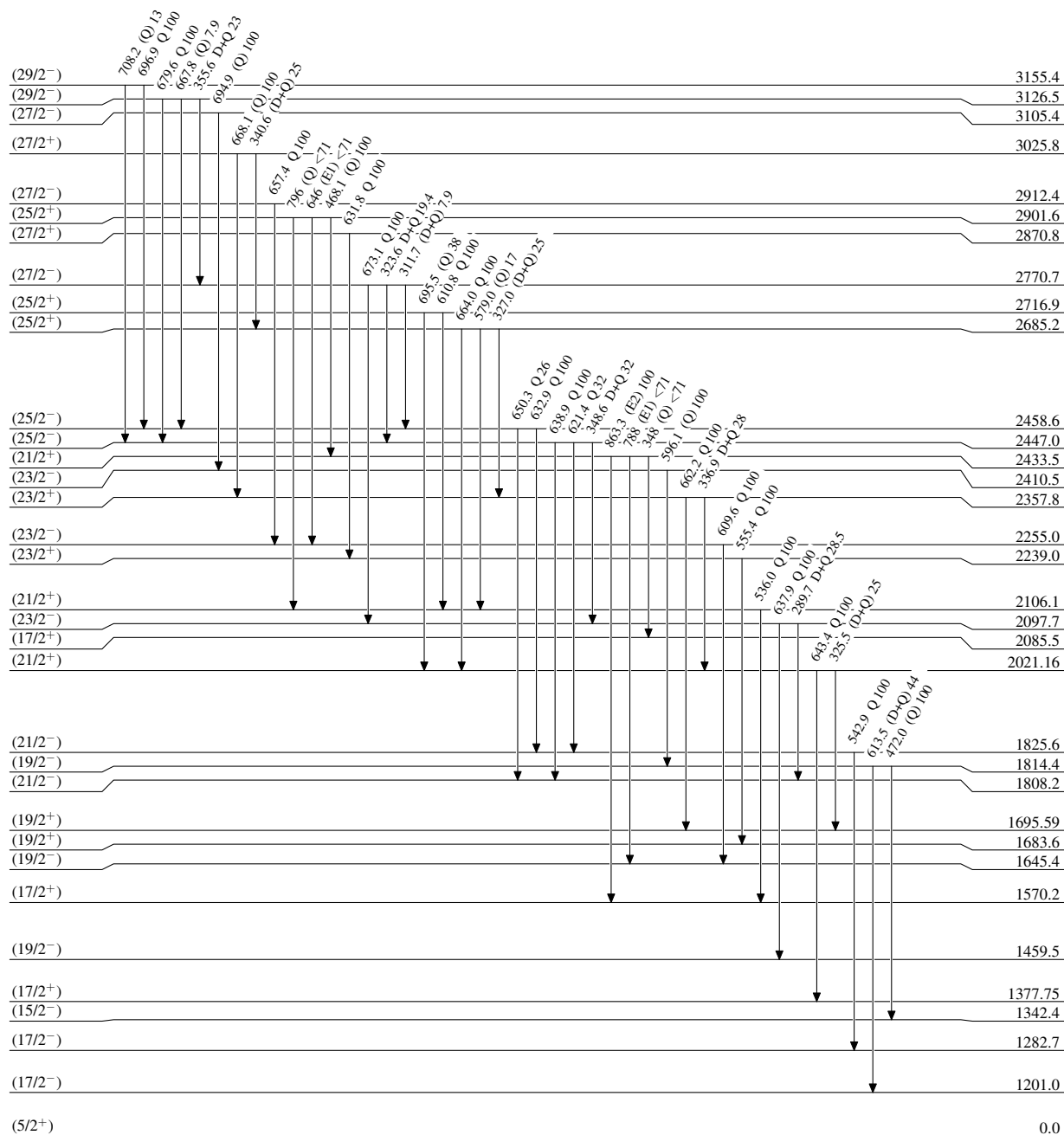
-----▶  $\gamma$  Decay (Uncertain)



**Adopted Levels, Gammas**

**Level Scheme (continued)**

Intensities: Relative photon branching from each level



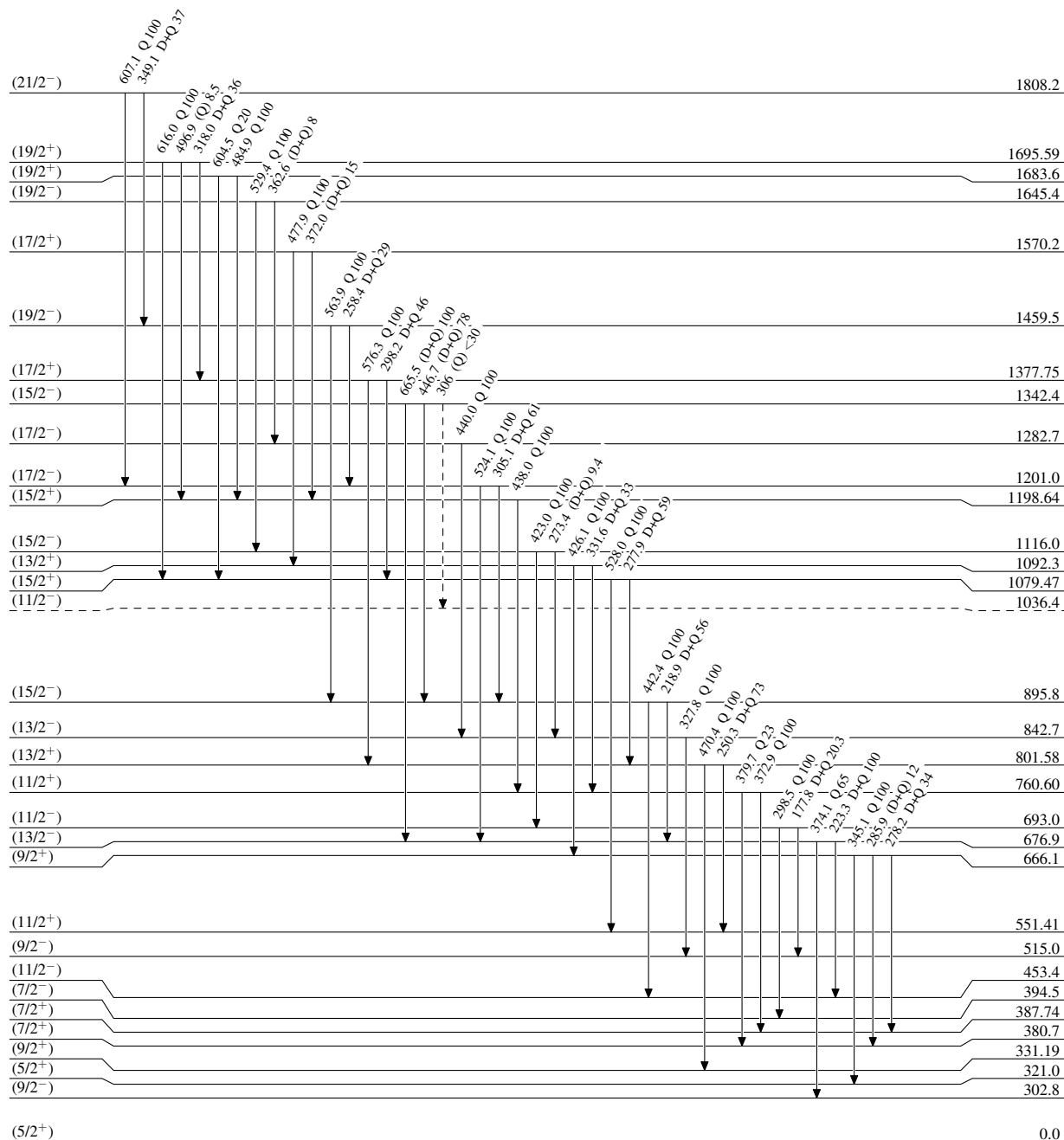
Adopted Levels, Gammas

Legend

Level Scheme (continued)

Intensities: Relative photon branching from each level

-----▶  $\gamma$  Decay (Uncertain)

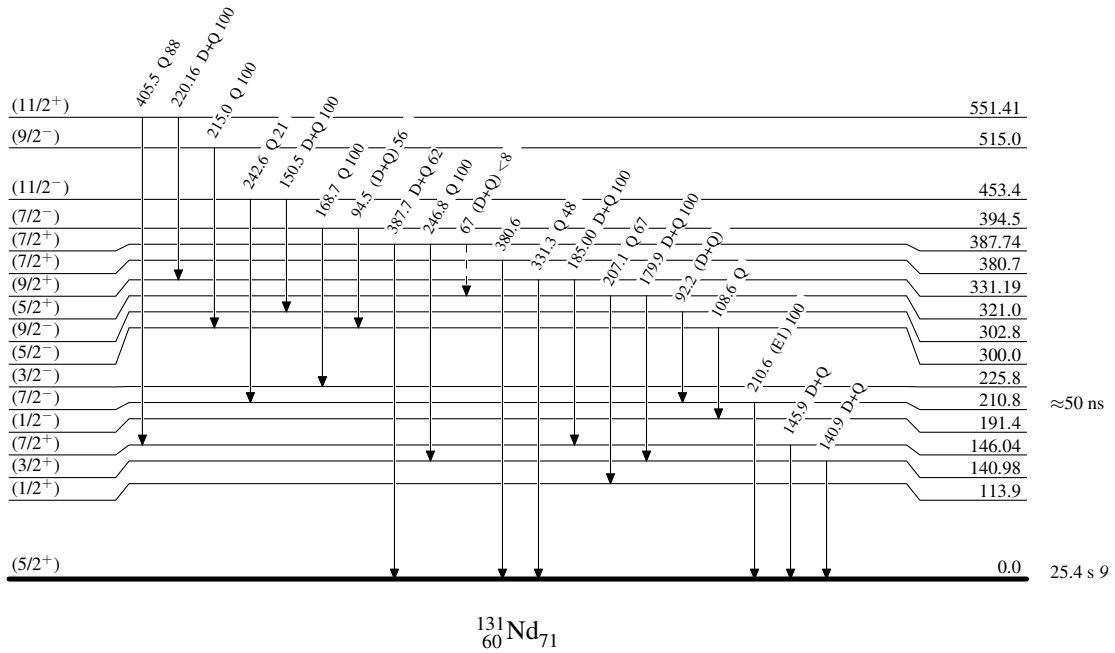


Adopted Levels, Gammas

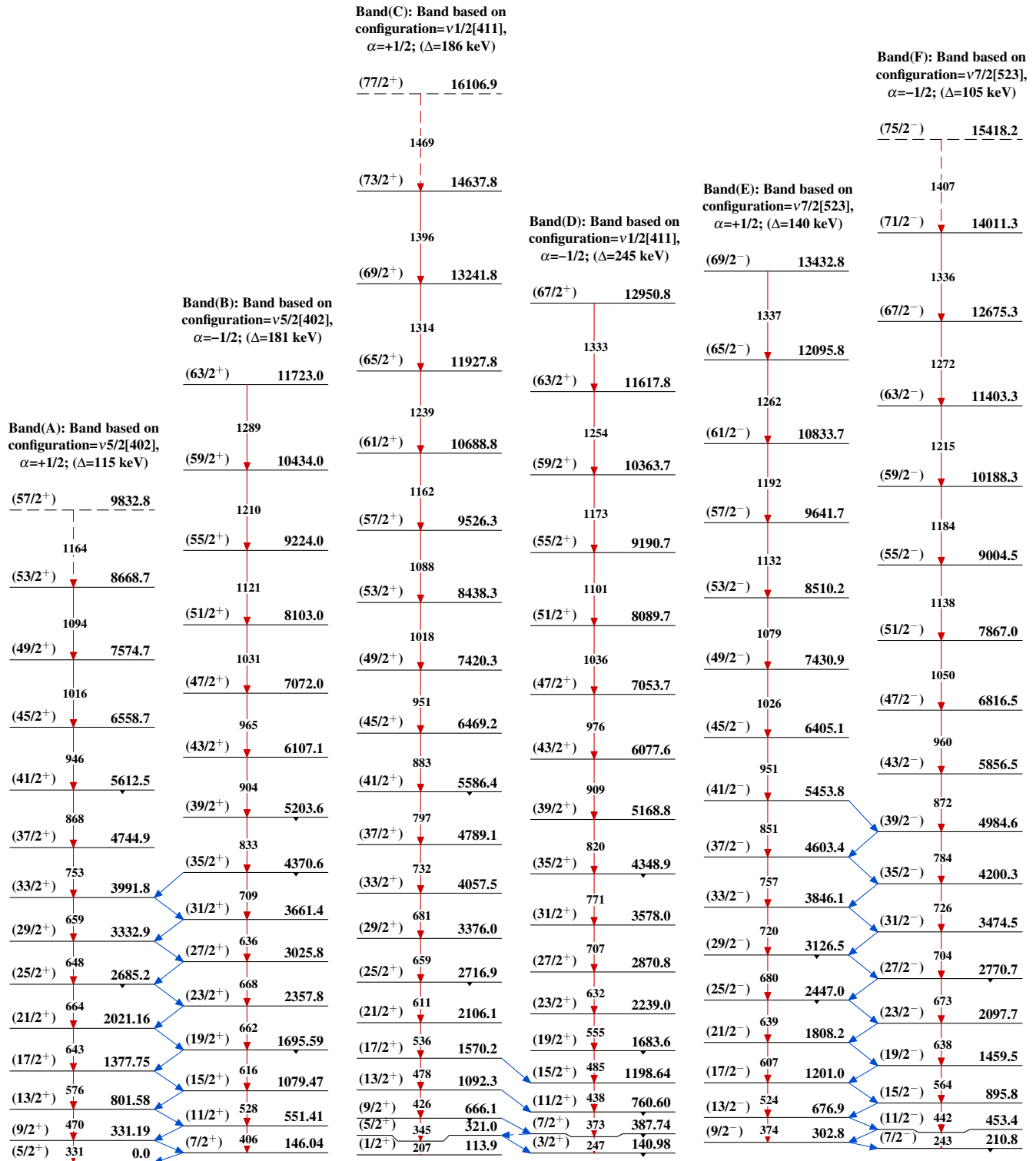
Legend

Level Scheme (continued)

Intensities: Relative photon branching from each level

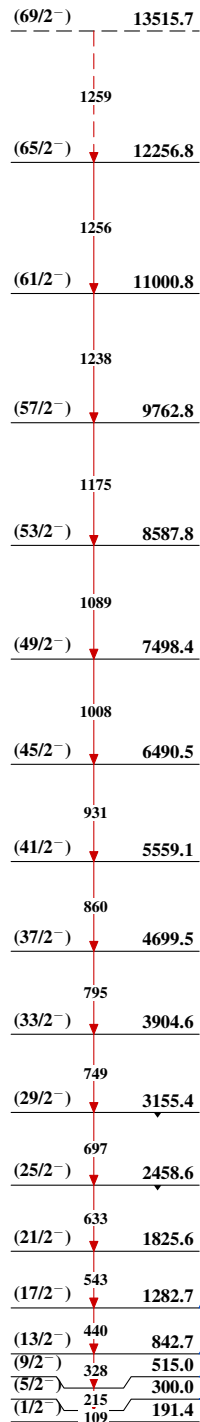
-----▶  $\gamma$  Decay (Uncertain)

## Adopted Levels, Gammas

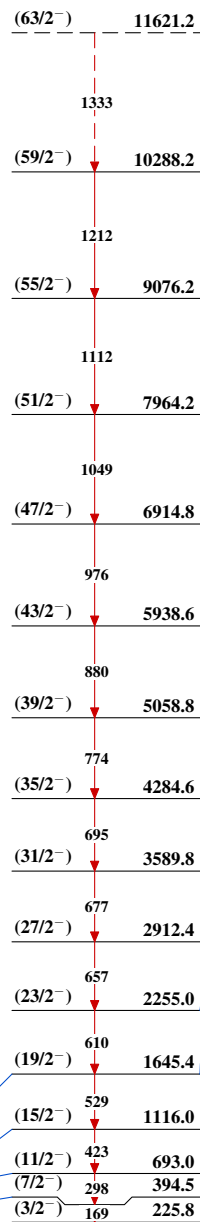


Adopted Levels, Gammas (continued)

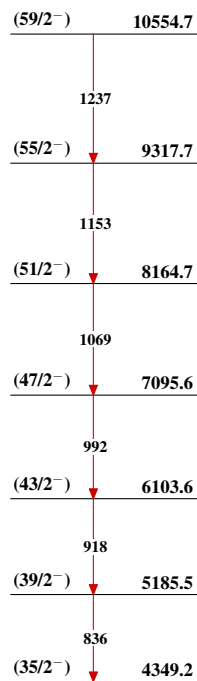
Band(G): Band based on  
configuration= $\nu 1/2[541]$ ,  
 $\alpha=+1/2$ ; ( $\Delta>500$  keV)



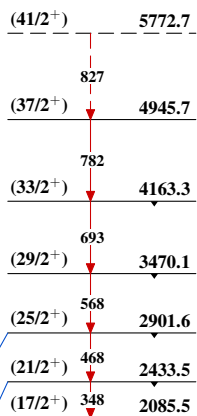
Band(H): Band based on  
configuration= $\nu 1/2[541]$ ,  
 $\alpha=-1/2$ ; ( $\Delta=114$  keV)



Band(J): Band based on  
(35/2<sup>-</sup>); ( $\Delta=4$  keV)



Band(I): Band based on  
(17/2<sup>+</sup>); ( $\Delta=39$  keV)



Band(K): Band based on  
(11/2<sup>-</sup>),  $\Delta J=2$ ; ( $\Delta=25$   
keV)

